

УДК 621.315.592

ЛИНЕЙЧАТАЯ ЭКСИТОННАЯ СТРУКТУРА
НИЗКОТЕМПЕРАТУРНОЙ КРАЕВОЙ
ЛЮМИНЕСЦЕНЦИИ КРИСТАЛЛОВ
СУРЬМЯНИСТОГО ИНДИЯ

Р. П. Сейсян, Ш. У. Юлдашев

Исследовалась низкотемпературная краевая люминесценция (НКЛ) кристаллов InSb *n*- и *p*-типа с $N_D + N_A \leq 10^{14} \text{ см}^{-3}$ при $T=2\div40 \text{ К}$ в магнитном поле $H=0\div80 \text{ кЭ}$. Обнаружена линейная структура НКЛ (до 10 максимумов). Анализ зависимостей от H , T , J позволяет связать природу линий с рекомбинационным излучением диамагнитного экситона, экситон-прimesных комплексов (ЭПК) $D^0 X$, в том числе на глубоких донорах, с прямой рекомбинацией электрона на нейтральном акцепторе, рекомбинацией на A^+ -центре, и с излучением при взаимодействии свободных и связанных экситонов. Наблюдается возгорание в магнитном поле фононного повторения рекомбинационного излучения диамагнитного экситона. Обнаруженная немонотонная зависимость интенсивности линий от H соответствует теоретической для ЭПК, а диамагнитный сдвиг соответствующих линий находит объяснение через модель псевдодыщентора.

1. Спектры низкотемпературной краевой фотoluminesценции относительно чистых кристаллов InSb подробно изучались еще в [1-3]. Авторы [1-3] зарегистрировали до 6 максимумов излучения, интерпретированных как «зона-зонная» рекомбинация, рекомбинация на уровнях мелких и глубоких акцепторов и собственных дефектов, а также слабые (1/200) фоновые повторения «зона-зона» рекомбинации с участием продольных (*LO*) и (очень слабые) двух поперечных (*2TO*) оптических фононов [3].

Интерес к краевой люминесценции в InSb возобновился существенно позже, после появления [4], где было показано, что при соблюдении определенных мер на «чистых» кристаллах InSb при низких температурах возможно наблюдение максимума поглощения, принадлежащего экситонному $1s$ -состоянию. Спектры краевой люминесценции таких кристаллов, как выяснилось в [5], могут содержать линии, связанные с образованием экситон-прimesных комплексов (ЭПК). Аналогичные наблюдения были выполнены в [6, 7], авторы которых основное внимание уделили возможности проявления в спектрах результатов коллективных взаимодействий и образования электрон-дырочной жидкости. Вместе с тем исследования люминесценции [8], проведенные при двухфotonном возбуждении CO_2 лазером, оказались в хорошем соответствии с предсказаниями теории, не учитывающей экситонных эффектов.

Представляло интерес изучение спектров низкотемпературной краевой люминесценции на различных образцах «чистого» InSb, моделирующих характерные ситуации: на компенсированных *p*-типе ($N_A \geq N_D$) (I), *n*-типе ($N_D \geq N_A$) (II), а также «хорошо выраженным» *n*-типе ($N_D \geq N_A$) (III).

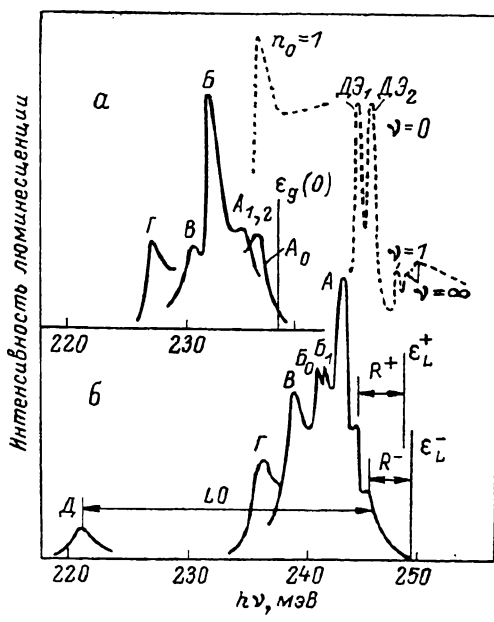
2. Эксперимент выполнялся при $T=2\div40 \text{ К}$, для возбуждения применялся GaAs гетеролазер с $\lambda_{\max}=0.9 \text{ мкм}$ [5, 9]. Магнитное поле создавалось сверхпроводящим соленоидом, при этом схема опыта соответство-

вала фараадеевской конфигурации. Максимальная мощность возбуждения соответствовала $2 \cdot 10^{21}$ фот./см²·с в импульсе. Для исследования применялись промышленные кристаллы с концентрацией $p = 6 \cdot 10^{12}$ см⁻³ (I), $n = 3 \cdot 10^{13}$ см⁻³ (II) и $n = 1 \cdot 10^{14}$ см⁻³ (III). Образцы из слитка II использовались в [4, 5], где впервые были обнаружены экситонные эффекты в InSb, а слиток III — в [8]. В спектрах поглощения тонких образцов всех исследованных материалов наблюдался максимум 1s-состояния экситона Ванье—Мотта при $\epsilon_{\text{exc}} = 236.3$ мэВ ($T = 2$ К). Образцы для исследования люминесценции имели поверхность, протравленную известным травящим составом CP-4, измерения велись в геометрии «на отражение».

3. Во всех случаях удавалось зарегистрировать многолинейчатую структуру спектра,

Рис. 1. Спектры низкотемпературной люминесценции InSb ($T = 2$ К) при $H = 0$ (а) и 40 кЭ (б), возбуждаемые GaAs гетеролазером.

Пунктиром показаны спектры поглощения, полученные на том же материале в аналогичных условиях. Обозначения максимумов — в тексте.



включавшую в общем случае при наличии магнитного поля до 8 различных линий. Поведение в магнитном поле позволяет различить до 10 линий для всех типов образцов. Классификация линий приводится в табл. 1, а обобщенные спектры излучения при $H = 0$ и 40 кЭ — на рис. 1.

Линии Γ и D практически совпадают по положению с известными по ранним работам [1-3] линиями: при 228 мэВ, связываемой с рекомбинацией электрона на мелком акцепторе A^0e , и при 212 мэВ, связываемой с фононным повторением основной линии излучения. Линии A , B , B'

Таблица 1

Энергетические положения максимумов НКЛ InSb ($T = 2$ К) и энергетические интервалы между положением свободного экситона и максимумом НКЛ при $H = 0$

№ п/п	Условное обозначение максимума	Энергия, мэВ		Интервал, мэВ	Вид материала
		$H = 0$	$H = 40$ кЭ		
1	$D\vartheta_1$	—	245.9	2.8 **	I, II, III
2	$D\vartheta_2$	—	244.7	3.6 **	I, II, III
3	A_0	236.2	243.7	0.1	II
4	A_1	235.2	243.5	1.1	III
5	A_2	(235.1)	243.3	(1.2)	I
6	B_1	(233)*	242.8*	(3.3)*	II, III
7	B_0	233.3 *	241.7*	3.0*	I, II, III
8	B	231.3	240.2	5.0	I, III
9	Γ	227.8	237.3	8.5	I
10	D	(211.3)	221.2	(25.0)	I, II, III

* Данные для фиксированной интенсивности возбуждения $W = 2 \cdot 10^{21}$ фот./см² · с.

** Энергии связи диамагнитного экситона при $H = 40$ кЭ для переходов между уровнями Ландау тяжелой ($D\vartheta_1$) и легкой ($D\vartheta_2$) дырок и электрона с $l_c = 0$. В скобках приводятся линейно-экстраполированные к $H = 0$ значения.

находятся между краем зоны ϵ_g^0 и линией A^0e , т. е., за исключением A_0 , находятся в «мертвой зоне», где отсутствуют переходы, связанные прямой рекомбинацией на мелких примесных центрах.

Зависимости положений максимумов от величины магнитного поля приведены на рис. 2. Возникающие из экситонного состояния $n_0=1$ слабые максимумы $D\vartheta_1$ и $D\vartheta_2$ становятся различимыми на коротковолновом

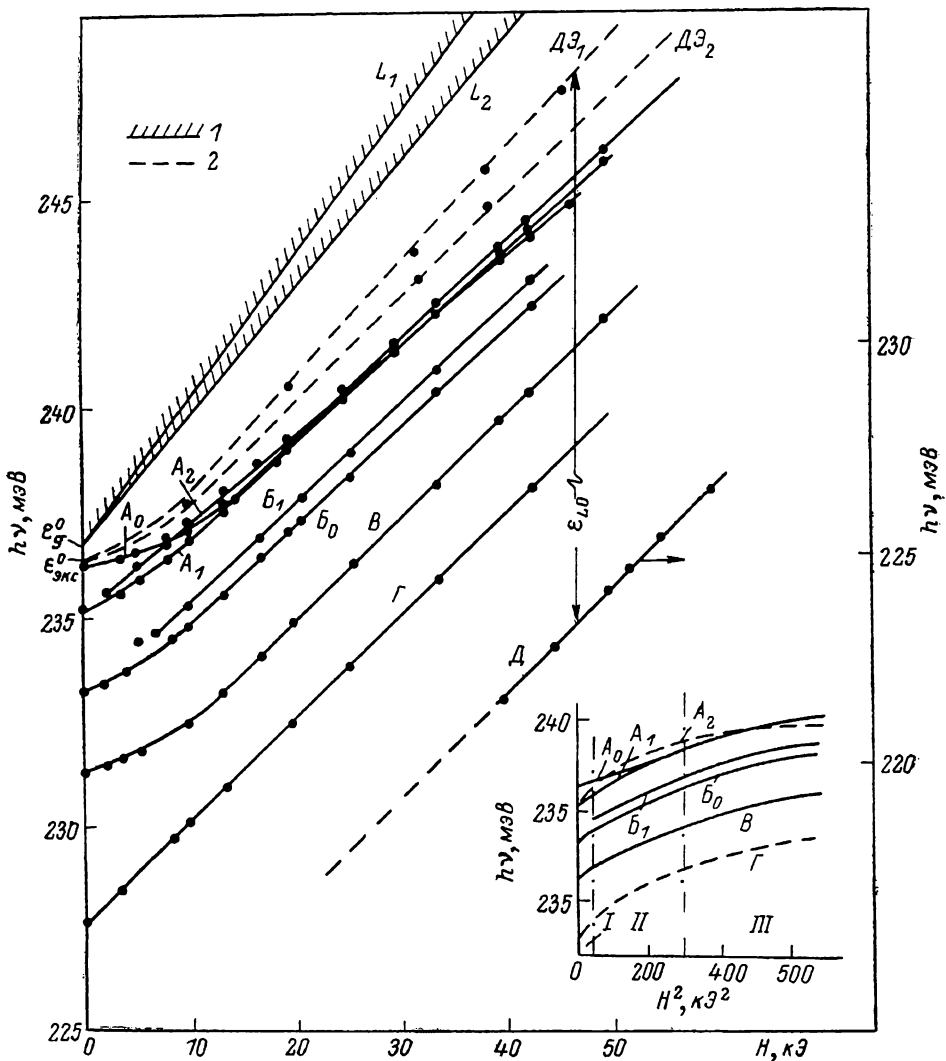


Рис. 2. Зависимость положения максимумов люминесценции в InSb ($T=2$ К) от напряженности магнитного поля.

1 — расчетные положения ϵ_L^\pm -переходов между подзонами Ландау для легкой дырки и электрона ($a^+ (-1) a^c (0)$) и тяжелой дырки и электрона ($a^- (1) a^c (0)$); 2 — зависимости для максимумов поглощения соответствующими состояниями диамагнитного экситона. $D\vartheta_1, 2$ по [10]. Экспериментальные точки на них соответствуют особенностям на коротковолновом склоне полосы люминесценции. Остальные обозначения — в тексте. На вставке: положения максимумов люминесценции в зависимости от H^2 .

склоне линий A лишь при $H \geq 8-10$ кэ. Эти максимумы совпадают по положению с максимумами поглощения при переходах в состояния диамагнитных экситонов (см. [10]), связанных с верхними подзонами Ландау серии тяжелых дырок a^- и серии a^+ легких дырок, взаимодействующими с нижним уровнем электрона a^c (обозначения переходов: $a^- (1) a^c (0)$ и $a^+ (-1) a^c (0)$ соответственно). Положение линии D следует при увеличении H практически параллельно $D\vartheta_1$: дистанция, их разделяющая, постоянна. В то же время край запрещенной зоны в магнитном поле

$\varepsilon_g(H)$ определяется положением соответствующих уровней Ландау и отделен от наблюдаемых в эксперименте максимумов $D\mathcal{E}_{1,2}$ энергиями связи $R_{\text{дэ}}^{\pm}$, которые растут в поле и при $H \geq 40$ кЭ в InSb составляют ≥ 2.8 мэВ.

Обращает на себя внимание различное поведение энергетического положения линий люминесценции в зависимости от магнитного поля. Так, поведение наиболее коротковолновых линий A различно во всех видах образцов (они обозначены A_0 , A_1 и A_2 для образцов II, III и I соответственно). В «компенсированном» n -типа материале (II) имеет место отчетливо выраженный сверхлинейный участок, а положение максимума при $H=0$ ($\varepsilon_{A_0}=236.2 \pm 0.1$ мэВ) находится в непосредственной близости к положению свободного экситона (236.3 мэВ, энергия связи $R_0=0.5$ мэВ) и рекомбинации дырки на «мелком» доноре (236.2 мэВ, энергия связи $E_D \approx 0.6$ мэВ). В образцах (III) n -типа положение максимума при $H=0$ существенно ниже по энергии ($\varepsilon_{A_1}=235.2$ мэВ), а зависимость ε_{A_1} от H также обнаруживает сверхлинейный участок, но далее почти смыкается с ε_{A_0} . Что же касается образцов p -типа (I), то нелинейный участок в зависимости ε_{A_2} от магнитного поля совершенно отсутствует, положение при $H=0$ почти совпадает с ε_{A_1} , а наклон в линейной области близок к A_0 и A_1 . Так же только линейна зависимость от магнитного поля положения максимума G , тогда как B и V обнаруживают протяженный сверхлинейный участок.

Изучение зависимости положения линий от магнитного поля показывает (вставка к рис. 2), что для линий A_0 , A_1 , B_0 и V характерны три участка зависимости: 1) линейный при окончательных значениях поля, 2) квадратичный в промежуточных полях, 3) вновь приближающийся к линейному при больших напряженностях H . Коэффициент, характеризующий наклон квадратичного участка, для A_0 равен $0.8 \cdot 10^{-2}$ мэВ/кЭ² и практически идентичен для A_1 , B , $V - 0.9 \cdot 10^{-2}$ мэВ/кЭ².

На всех образцах для линии B характерны области независимости интенсивности от температуры до $T \leq 8$ К и резкого ее падения при дальнейшем повышении температуры. Зависимость от обратной температуры спрямляется на падающем участке в логарифмическом масштабе при энергии активации $\Delta E \approx 0.9$ мэВ. Такая же падающая зависимость обнаруживается и для линии A_0 , наблюдавшейся в компенсированных образцах (II), но с несколько меньшим наклоном.

Интенсивность линий люминесценции J в основном линейна по начальке, за исключением линии B , обнаруживающей сверхлинейное поведение: $J \sim W^2$.

4. Энергетическое положение полосы излучения A при наличии магнитного поля определяет принадлежность коротковолновой границы люминесценции. Расстояние от нее до самого нижнего из разрешенных переходов между подзонами Ландау, образующих минимальный запрещенный зазор $\varepsilon_g(H)$, в полях $H \geq 10$ кЭ значительно больше возможной ошибки эксперимента; это позволяет предполагать, что коротковолновый край в наших спектрах НКЛ, несмотря на относительно высокую вероятность прямой межзонной излучательной рекомбинации в этом кристалле, вплоть до температур в 30—40 К не связан с переходами «зона—зона». Но природа группы линий A , очевидно, различна во всех трех случаях. Ключом к пониманию природы линий спектра НКЛ может послужить их поведение в магнитном поле. Электроны в InSb характеризуются большим отрицательным g -фактором: $g_e^*(0)=-50.2$ [10]. Величину, эквивалентную g -фактору дырки для алмазоподобных полупроводников, можно оценить, пользуясь результатами [11]. Пренебрегая малым параметром q , характеризующим анизотропию спинового расщепления дырок, для k , играющего роль « g -фактора дырки», можно написать [12]

$$k = k + \frac{32}{5} \left(\frac{\gamma_3}{\gamma_1} \right) \left(\frac{7}{6} - \frac{13}{6} \frac{\gamma_2}{\gamma_3} \right) M, \quad (1)$$

где $\gamma_{1,2,3}$, k — параметры Латтинжера для v -зоны; M — численный коэффициент, равный 0.281 [11]. Подставляя параметры v -зоны InSb из [10], получим $k=2.85$. Соответствующий наклон зависимости ε_L^{\pm} от H хорошо совпадает с расчетом по более точным формулам [10]. Наклоны для $D\vartheta_1, 2$ уже иные в силу зависимости от H энергий связи диамагнитного экситона, а для ЭПК мы должны будем в принципе учесть также и зависимость от H соответствующей энергии связи экситона на центре $I(H)$. Вычисляя $I(H)$ путем вычитания энергии максимумов линий люминесценции из энергетического положения линий поглощения диамагнитными экситонами, мы получили монотонную зависимость только в том случае, когда за исходную бралась линия диамагнитного экситона на тяжелой дырке a^- (1) $a^c(0)$ (рис. 3). При этом экспериментальная зави-

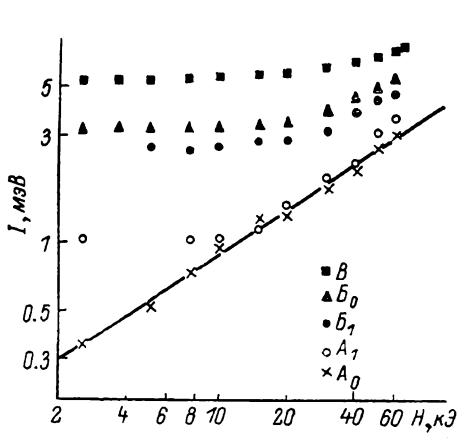


Рис. 3. Зависимости энергий связи с центром для максимумов люминесценции в InSb от магнитного поля, полученные из эксперимента как разность $I = \varepsilon(D\vartheta_1) - \varepsilon(A_1, B, B)$. Прямая соответствует $I \sim H^{2/3}$.

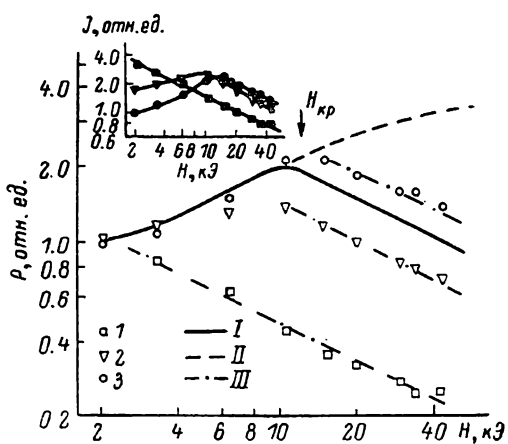


Рис. 4. Зависимости интенсивности люминесценции InSb при $T=2$ К от напряженности магнитного поля.

I соответствует формуле (7) при $H_{kp}=10$ кЭ; II — продолжение теоретической кривой по (7) для $I(H)=\text{const}$ или $H_{kp} > 50$ кЭ; III соответствует значениям $J \sim H^{-1/2}$, проведенным по экспериментальным точкам, приведенным к 1 при $H=2$ кЭ. Точки принадлежат следующим линиям спектра: I — B_0 , II — A_1 , III — B . На вставке — те же экспериментальные зависимости с реальной относительной интенсивностью для образцов (III).

симость для A_0 , начиная с 2 кЭ, имеет наклон, приближающийся к $I(H) \sim H^{2/3}$. Для других линий характерна область независимости от H вплоть до некоторой величины H_{kp} ; затем зависимость, приближающаяся с увеличением H к такой же степени $\sim H^{2/3}$. Величина H_{kp} для A_1 составляет около 10 кЭ. Ее можно сопоставить с данными табл. 2, где приводятся расчетные значения критических полей $H_{\beta=1}$, соответствующих переходу к квазиодномерной модели относительного движения. Интересно, что H_{kp} для A_1 приблизительно совпадает с $H_{\beta=1}$ для «акцепторных» состояний, связывающихся при «средней» массе дырки $m_h=(4/9)m_{hh}^*+(5/9)m_{lh}^*$, где m_{hh}^* и m_{lh}^* — эффективные массы тяжелой и легкой дырок соответственно. Такое «усреднение», полученное при линейной интерполяции результатов расчета, выполненного в [13] для акцептора в алмазоподобных полупроводниках, было успешно применено для расчета энергии связи свободного экситона в A_3B_5 в [14].

Экспериментальные данные не обнаруживают зеемановского расщепления уровней. Это, по-видимому, связано с тем, что мы имеем дело только с одним уровнем электрона из-за большого по абсолютной величине g -фактора. Для ЭПК в применявшейся здесь фарадеевской конфигурации в таком случае возможны два наиболее длинноволновых перехода, один

в σ^+ , другой в σ^- -поляризации, разделенные интервалом σ^\pm . Вследствие различия диамагнитных сдвигов для проекций спинового момента $M = |3/2|$ и $|1/2|$ его величина может заметно отличаться от $\delta^\pm = 2k'\beta_0 H$, где β_0 — магнетон Бора, а k' — величина, эквивалентная g -фактору дырки в ЭПК, аналогичная k . Наклоны линейных частей зависимостей $\epsilon(H)$

Таблица 2

Энергии связи, радиусы, диамагнитные сдвиги и критические поля водородоподобных состояний в InSb

Состояние	R_i , мэВ	a_i^* , Å	$\beta_i^{(10)}$	$\sigma = m_h/m_e$	μ_i/m	$\Delta_i^{(10)}$, мэВ	$H_{kp}^{(i)}$, кЭ	
Свободный экситон, X	0	0.5	860	12.5	10.6	0.009	40	0.8
Донор, D	1	0.59	680	10.5	—	0.014	33	0.95
Акцептор с «изотропной» дыркой, m_h^*	2	1.2	345	5.2	2	0.027	16.5	1.9
Акцептор со «средней» дыркой, \bar{m}_h	3	6.2	64	1.0	10.6	0.15	3.2	9.8
Акцептор с «тяжелой» дыркой, m_{hh}^*	4	13.3	30	0.5	22.5	0.31	1.5	21.3

Примечание. $R_i = e^4 \mu_i / 2\hbar^2 x_0^2$, $a_i^* = (\hbar^2/e^2) x_0 \mu_i$, $\beta_i^{(10)} = \hbar \Omega / 2R_i$ при $H = 10$ кЭ, $\Delta_i^{(10)} = (3_i^{(10)})^2 R_i / 2$, $H_{kp}^{(i)}$ соответствует достижению $\beta_i = 1$, $\sigma = m_h/m_e$. μ_i — приведенная масса рассматриваемого состояния, равная $(\gamma_i/m + 1/m_e)^{-1}$, m_e , $m_h^* = \gamma_1^{-1} m$, $m_h = \frac{4}{9} m_{hh}^* \langle 100 \rangle + \frac{5}{9} m_{hh}^* \langle 111 \rangle$, $m_{hh}^* \langle 100 \rangle$ — для $i = 0 \dots 4$ соответственно; $[100]$ — кристаллографическое направление, нормальное плоскости образца, вдоль которого приложено поле H .

окажутся соответственно меньшими наклона нижнего уровня Ландау электрона.

Диамагнитный сдвиг Δ для свободного экситона в алмазоподобных полупроводниках в общем случае составляет [11] (для фарадеевской геометрии эксперимента)

$$\Delta_M = R_0 (1/2 - q_1 + q_2 M^2) \beta^2. \quad (2)$$

Здесь $R_0 = \mu_0 e^4 / 2\hbar^2 x_0^2$; $\beta = \hbar \Omega / 2R_0$; $\Omega = eH/\mu_0 c$; x_0 — диэлектрическая проницаемость, $q_{1,2}$ — коэффициенты, зависящие от $\gamma_{1,2,3}$; $\mu_0^{-1} = \gamma_1 m^{-1} + m_e^{-1}$; m — масса свободного электрона. Для InSb с параметрами из [10] мы получим

$$\Delta_M = b R_0 \beta^2 = (b/2) (e^2/\mu_0 c^2) a^{*2} H^2, \quad (3)$$

где $b = 0.3$ и 0.56 для $M = 1/2$ и $3/2$ соответственно; $a^* = (\hbar^2/e^2) x_0 / \mu_0$ — боровский радиус экситона.

Представляет интерес, пользуясь водородоподобным представлением, оценить далее по экспериментальным данным эффективный радиус состояния $a_{\text{вфф}}^*$, соответствующий диамагнитному сдвигу предполагаемых ЭПК. Отклонение от водородоподобности для свободного экситона в InSb дается отличием численных коэффициентов b в (3) от 0.5, соответствующего атому водорода. Ясно, что отклонение от водородоподобной модели несущественно, что позволяет для оценок использовать

$$a_{\text{вфф}}^* = \left(\frac{2}{b}\right)^{1/2} L \sqrt{\frac{\Delta}{\hbar \omega_0} \frac{\mu}{m}} \approx 2L \sqrt{\frac{\Delta}{\hbar \omega_0} \frac{\mu}{m}}. \quad (4)$$

Здесь $L = (c \hbar / eH)^{1/2}$ — магнитная длина, а $\omega_0 = eH/mc$. Этот радиус можно сравнить со значениями a^* для различных связанных водородоподобных состояний.

Оценка по (4) при использовании $\mu = \mu_0$ дает $a_{\text{вфф}}^* \approx 130$ Å, что во много раз меньше радиуса свободного экситона или боровского радиуса водородоподобного донора (табл. 2), и имеет порядок радиуса акцепторного состояния.

В GaAs ЭПК на глубоком акцепторном центре с короткодействующим потенциалом, когда $I \gg R_0$, следует рассматривать в рамках псевдоакцепторной модели [15]: вблизи акцептора находятся две дырки, образующие положительно заряженный центр A^+ , вокруг которого далеко вращается электрон, чувствующий только результирующий положительный потенциал центра. Здесь задача превращается в задачу о водородоподобном доноре и свойства в магнитном поле определяются электронной массой. Поле практически не воздействует на энергию взаимодействия с центром, а экспериментально наблюдаемый сдвиг можно связать только с изменениями во внутреннем движении экситона. Позднейшие вариационные расчеты [16] показали, что выводы [15] вполне справедливы только при $m_h/m_e = 0.5$, что выполняется для GaAs, в то время как в иных случаях возможны положительные и отрицательные отклонения от $\Delta I(H) = 0$ — в зависимости от величины σ .

Как следует из рис. 3, в нашем случае условие независимости энергии связи ЭПК от H соблюдается для линий A_1 до 10 кЭ, уступая при больших значениях H зависимости $\sim H^{1/2}$, характерной для A_0 в диапазоне полей $H > 2$ кЭ. Случай A_0 — единственный, в котором еще можно предполагать явное выполнение условий модели Рашба: $I \ll R_0$. В остальных случаях действует обратное неравенство, так что полученные значения $a_{\text{виф}}^*$ можно обосновать приближением к псевдоакцепторной модели, когда магнитные свойства определяются главным образом «внешней» дыркой, вращающейся вокруг D^- -центра.

Представляет интерес зависимость интенсивности люминесценции J от H , проходящая для A_1 и B через максимум при $H=8 \div 14$ кЭ. Эти зависимости приведены на вставке к рис. 4. Здесь же приведена зависимость от H для интенсивности линий B , имеющая только падающий характер ($\sim 1/\sqrt{H}$). На такую же зависимость выходят линии A_1 и B при $H > 10$ кЭ, что свидетельствует об общности лимитирующего рекомбинационного процесса.

Интенсивность люминесценции определяется как вероятностью излучательной рекомбинации, так и вероятностью конкурирующих безизлучательных процессов. Вероятность излучательной рекомбинации ЭПК P , согласно [17], легко оценить, если экситон в ЭПК — слабо связанная с центром частица и возможно разделение движения центра масс и относительного движения. В таком случае P можно рассматривать как

$$P = \frac{4e^2 \omega \eta}{3\hbar m c^2} |\psi(r)|_0^2 |\chi(R)| d^3 R |_0^2, \quad (5)$$

где $\psi(r)$ — волновая функция относительного движения в экситоне, $\chi(R)$ — волновая функция движения центра масс.

Здесь можно ожидать конкуренции двух тенденций: возрастания P из-за роста плотности волновой функции относительного движения при $r=0$, пропорциональной $\beta \ln \beta$, и уменьшения, обусловленного уменьшением объема локализации экситона, связанного с центром, как [17]

$$V_{\text{ЭПК}} \sim R_\perp^2 R_\parallel = \hbar^3 / 2M_H \sqrt{M} I^{3/2}(\beta), \quad (6)$$

M — масса экситона; $M_H^2 = M(1 + (\mu/\mu)\beta/v_0)$ — масса экситона в плоскости, перпендикулярной магнитному полю; v_0 — главное квантовое число диамагнитного экситона, даваемое решением трансцендентного уравнения (см., например, [14]); $v_0 \rightarrow 0$, когда $\beta \sim H \rightarrow \infty$. Учитывая (5), (6), легко увидеть, что

$$P = A \frac{v_0 + \beta/2}{v_0 + (\mu/M)\beta} I^{-3/2}(\beta) \equiv k(H)/I^{3/2}(H), \quad (7)$$

где A — коэффициент, не зависящий от поля; множитель $k(H) = A(v_0 + \beta/2)/(v_0 + \mu\beta/M)$ сложно зависит от H . Тогда как v_0 слабо уменьшается при увеличении H , массы μ и M несколько растут из-за непарabolичности

с-зоны. Наиболее существен рост β , но и здесь реальная зависимость от H носит сублинейный характер, так как в сильном поле следует в (7) вместо β применять β^* с энергией связи диамагнитного экситона $R_{\text{дэ}}(H)$ вместо R_0 , а увеличение $R_{\text{дэ}}(H)$ замедляет непарараболичность электрона.

Таким образом, если известна зависимость $I(H)$, можно оценить вклад в интенсивность люминесценции, непосредственно связанный со свойствами ЭПК в рамках модели Рашба, условия применимости которой, как уже отмечалось, явно выполняются только для A_0 . Независимость энергии связи с центром I от H тем не менее могла бы означать, что влияние магнитного поля на P осуществляется только через $\phi_0(r)$. Здесь будет происходить рост вероятности излучательной рекомбинации, который ограничивается, однако, достижением $H=H_{\text{кр}}$, после чего последует спад, обусловленный относительно сильной зависимостью $I(H)$. Увеличение P при $I(H)=\text{const}$ насыщается при $\beta \rightarrow \infty$, достигая $M/2\mu$ раз.

Расчет $k(H)$, выполненный с применением экспериментальной зависимости $I(H)$, дает, как выясняется, вполне удовлетворительное совпадение с опытными данными для A_1 , B_0 и B как по характеру изменений P , так и по порядку относительной величины роста P в максимуме (рис. 4). Это могло бы свидетельствовать о том, что в условиях нашего эксперимента рекомбинационные процессы определяются спецификой поведения ЭПК в магнитном поле для этих линий, предположительно имеющих экситонную природу. Интересно, что поведение B_0 при этом совпадает с ожидаемым для A_0 .

5. Известны [18] четыре глубоких центра в InSb, связанные с ответственными за рекомбинационные процессы собственными структурными дефектами. Помимо уровней E_r , E_i и E_t , которые образуются в n -InSb при энергиях на 0.06, 0.078 и 0.13 эВ ниже дна зоны проводимости соответственно, в p -InSb наблюдается «собственный» глубокий уровень $E_i = \epsilon_c + 0.068$ эВ [18], а также уровень E_t , который наблюдался и в n -типе. И те и другие ведут себя как доноры, а про состояния $E_i = \epsilon_c - 0.078$ эВ и $E_t = \epsilon_c - 0.13$ эВ известно [18], что они строятся на волновых функциях тяжелых дырок (центры h -типа с симметрией Γ_8). Центры имеют притягивающий характер при переходе электронов в зону проводимости и конечное нейтральное состояние при возбуждении дырки в валентную зону. Присутствие линии B как в n -, так и в p -типа «чистом» материале позволяет думать, что она принадлежит ЭПК, связанному с уровнем $E_i : D^0 X$. Как показывает исследование ЭПК на глубоких донорах в GaP [19], в этом случае уже не действует правило Хайнса, связывающее энергию комплекса с энергией ионизации центра E_i в линейном приближении: $R = R_0 + \delta E_i$. Здесь лучше соответствует экспериментальным данным степенная зависимость $R \sim E_i^m$, где $m \approx 3/2$, что находит в [19] обоснование для модели глубокого центра с короткодействующим потенциалом. Применение таких представлений к нашему случаю позволяет достичь приблизительного соответствия, если считать линии A_1 и B связанными с собственными глубокими донорными дефектами, образующимися при энергиях E_r и E_t соответственно.

Что же касается A_0 , то отсутствие ее в спектрах образцов (I) и (III) наряду с малой энергией активации могло бы указывать на связь с мелким нейтральным донором. При этом во всех рассмотренных случаях диамагнитный сдвиг соответствует приближению к модели псевдоакцептора: Δ определяется главным образом «внешней» дыркой.

Рассмотрим поведение линии A_2 , характерной для p -InSb (I). Учтем, что в случае, когда масса дырки гораздо больше электронной массы ($m_h \gg m_e$), экситонный комплекс $A^0 X$, который мог бы образоваться в таком материале, по энергетической и пространственной структурам напоминает нейтральный донор. Ядром такого «донора» является положительно заряженный A^+ -центр, характерная энергия связи и размеры которого определяются большой массой тяжелой дырки и равны по порядку величины $R_h = m_{hh}^* e^4 / 2\hbar^2 x_0^2$ и $a_h^* = \hbar^2 x_0 / e^2 m_h^*$. Энергия связи электрона с «псевдодонором» имеет порядок $R_e = m_e e^4 / 2\hbar^2 x_0^2 \ll R_h$. В действи-

тельности условие малой энергии связи электрона по сравнению с энергией в A^+ -центре выполняется плохо, так как энергия связи второй дырки в A^+ -центре составит менее $0.055 R_h$ [20]. Тем не менее можно ожидать, что порядок величины энергии связи в такой модели определен правильно. Тогда положение линии A^0X должно близко совпадать с переходом электрона на A^+ -центр. В то же время зависимость положения линии от H для рекомбинации электрона на A^+ -центр должна быть практически линейной с наклоном, близким к наклону нижнего уровня Ландау проводимости. Именно такое поведение характерно для линии A_2 , возникающей в образце p -типа (I), положение ее при $H=0$ близко к возможному положению с A^0X . Таким образом, линия A_2 , возникающая только в образцах p -типа, по-видимому, принадлежит A^+ -центру.

Очевидна принадлежность линии Γ , также возникающей только в образцах p -типа, прямой рекомбинации «акцептор—электрон» (A^0e). Соответствующая величина $\varepsilon_g^0 - \varepsilon_l^0 = 9.0$ мэВ близка к теоретическому значению энергии ионизации мелкого акцептора типа кадмия или цинка [21] и к известным литературным значениям [22]. Соответственно такой интерпретации ход энергии ε_g в зависимости от магнитного поля практически линеен, а наклон близок к наклону нижней электронной подзоны за вычетом небольшой добавки, определяемой « g -фактором» дырки.

Не вызывает сомнений также природа линии D , интенсивность которой линейно растет в магнитном поле, а положение следует практически параллельно наиболее длинноволновой линии диамагнитного экситона с тяжелой дыркой ($a^- (1) a^o (0)$). Энергетический интервал, отделяющий линию D от этого максимума диамагнитного экситона, как отмечалось выше, соответствует характеристической энергии LO -фонона в InSb. Как было показано в [23], сечение взаимодействия для многофононного резонансного комбинационного рассеяния света при включении сильного магнитного поля возрастает, становясь величиной первого порядка по Фрелиховской константе связи. Физическая причина такого эффекта заключается в изменении характера движения электронов в сильном магнитном поле, которое становится квазиодномерным. (Движение остается свободным только вдоль магнитного поля, тогда как в плоскости, перпендикулярной H , оно финитно). Вероятность аннигиляции электрона и дырки, согласно [23], обратно пропорциональна объему, занимаемому электрон-дырочной парой (ЭДП); так как в плоскости, перпендикулярной H , положение электрона относительно дырки не зависит от вероятности испускания LO -фонона, а следовательно, и от константы взаимодействия α , характерный объем для ЭДП, испустивших N фононов, пропорционален уже $1/\alpha$, а не $1/\alpha^3$, как в случае нулевого магнитного поля. Для InSb, где α очень мало ($\alpha \approx 0.014$), в квантующем магнитном поле сечение рассеяния становится в $5 \cdot 10^3$ раз больше, чем при $H=0$. Таким образом, по-видимому, в наших экспериментах впервые обнаруживается эффект возгорания экситон-фононного взаимодействия в магнитном поле, предсказанный в [23].

Особое место занимает природа линий B , для которых характерны быстрое температурное гашение и квадратичная зависимость интенсивности от накачки. Линия B доминирует в спектре при относительно высоком уровне возбуждения, если $H=0$. В магнитном поле возникает коротковолновый сателлит B_1 ; интенсивности B_0 и B_1 имеют тенденцию к выравниванию с ростом H , но обе линии при этом быстро угасают. Дистанция между B_0 и B_1 практически не зависит от H . Кроме того, при $H=0$ наблюдается некоторое длинноволновое смещение линии B_0 с увеличением интенсивности накачки W , составляющее $\delta\varepsilon \sim 1.2$ мэВ при $W_{\max} = 2 \cdot 10^{21}$ фот./см²·с, и асимметричная форма с пологим коротковолновым «хвостом». Судя по расположению и отдельным признакам, именно эта полоса явилась предметом пристального изучения в [6-8], авторы которых, увеличивая накачку, обнаруживали признаки электрон-дырочной жидкости (ЭДЖ) [6, 7], стимулированное излучение [7] или же свойства электрон-дырочной плазмы [8]. Рассматривалась также возможность

ее образования при излучательном распаде ЭПК на глубоком акцепторе^[5]. Таким образом, интерпретация этой линии весьма противоречива.

Подобные диамагнитные сдвиги и зависимостей интенсивности от H , низкое значение энергии активации, а также длинноволновое смещение с накачкой дают основание предположить принадлежность линии процессам рассеяния экситонов на ЭПК с излучением кванта и одновременной диссоциацией ЭПК. Вероятность такого процесса в InSb может оказаться высокой из-за «гигантских» радиусов свободного экситона и областей локализации ЭПК.

Другую возможность возникновения линий B дает неоднородность возбуждения, соответствующая коротковолновой накачке. Применение данных [24] позволяет вычислить длину диффузии, время жизни и пропорциональную концентрацию фотоносителей в InSb, которые составят единицы микрометров, 10^{-8} с и $n \approx 3 \cdot 10^{16}$ см⁻³ соответственно. Такой концентрации при $H=0$ достаточно для экранирования связанных состояний. Тогда можно качественно объяснить длинноволновое появление «зона-зонных» переходов, сдвинутых к меньшим энергиям из-за электронно-электронного взаимодействия в пропорциональной плазме [8] — на фоне экситонной люминесценции, исходящей из более глубоких слоев материала, находящихся за границей раздела фаз. Однако здесь не находит объяснения наблюдаемое поведение в магнитном поле и температурное гашение, а также появление сателлита B_1 . Отметим, что в сильном магнитном поле, позволяющем рассматривать электрон-дырочное взаимодействие как одномерное, полное экранирование не происходит даже при больших концентрациях фотоносителей, а появление сателлита можно объяснить магнитным вымораживанием мелкого донора. Природа линий B достойна дальнейшего изучения.

Отметим при этом, что в отличие от [7] в условиях нашего эксперимента не наблюдается стимулированного излучения, а применение представлений об ЭДЖ еще не представляется достаточно обоснованным.

Л и т е р а т у р а

- [1] Benoit C. à la Guillaum, Lavallard P. In: Proc. Intern. Conf. Semicond. Phys. Exeter, 1962, p. 875—879.
- [2] Pehek J., Levinstein H. Phys. Rev., 1965, vol. 140, N 2A, p. A576—A586.
- [3] Mooradian A., Fan H. Y. Phys. Rev., 1966, vol. 148, N 2, p. 873—885.
- [4] Канская Л. М., Кохановский С. И., Сейсян Р. П. ФТП, 1979, т. 13, № 12, с. 2424—2426.
- [5] Иванов-Омский В. И., Кохановский С. И., Сейсян Р. П. и др. ФТП, 1983, т. 17, № 3, с. 532—534.
- [6] Гавецкая И. В., Косты Я. Я., Сибелльдин Н. Н., Цветков В. А. Письма в ЖЭТФ, 1983, т. 36, № 7, с. 254—256.
- [7] Калугина Н. А., Скок Э. М. Письма в ЖЭТФ, 1983, т. 38, № 5, с. 251—253.
- [8] Бреслер М. С., Гусев О. Б., Степанов А. О. ФТП, 1983, т. 17, № 7, с. 1195—1201.
- [9] Гельмонт Б. Л., Иванов-Омский В. И., Мальцева В. А., Смирнов В. А. ФТП, 1981, т. 15, № 6, с. 1109—1115.
- [10] Кохановский С. И., Канская Л. М., Сейсян Р. П., Эфрос А.Л. Л. ФТП, 1981, т. 15, № 9, с. 1854—1857; Efros Al. L., Kokhanovskii S. I., Kanskaya L. M., Seyssyan R. P. Phys. St. Sol. (b), 1982, vol. 114, N 2, p. 373—382.
- [11] Baldereschi A., Lipari N. O. Phys. Rev., 1971, vol. B3, N 2, p. 439—451; 1973, vol. B8, N 6, p. 2697—2709.
- [12] Dean P. J., Herbert D. C. In: Topics in Current Physics, ed. Cho R. Springer, Berlin, 1979, vol. 14, p. 55—182.
- [13] Гельмонт Б. Л., Дьяконов М. И. ФТП, 1971, т. 5, № 11, с. 2191—2193.
- [14] Сейсян Р. П. Спектроскопия диамагнитных экситонов. М.: Наука, 1984. 272 с.
- [15] Dreybordt W., Willmann F. Sol. St. Commun., 1973, vol. 12, N 11, p. 1217—1220.
- [16] Dujardin F., Stébé B., Munsch G. Phys. St. Sol. (b), 1984, vol. 126, N 1, p. 329—334.
- [17] Харченко В. А. ЖЭТФ, 1982, т. 83, № 5, с. 1971—1977.
- [18] Колчанова Н. М., Сиповская М. А., Степанникова Ю. С. ФТП, 1982, т. 16, № 12, с. 2194—2196.
- [19] Herbert D. C. J. Phys. C: Sol. St. Phys., 1984, vol. 17, N 5, p. 901—903.
- [20] Larsen D. M. Phys. Rev. B, 1979, vol. 20, N 12, p. 5217—5227.

- [21] Balderescu A., Lipari N. O. Phys. Rev. B, 1974, vol. 9, N 4, p. 1525—1539.
- [22] Kaplan R. Sol. St. Commun., 1966, vol. 12, N 5, p. 224—227.
- [23] Белицкий В. И., Гольцов А. В., Ланг И. Г., Павлов С. Т. ФТТ, 1983, т. 25, № 4, с. 1224—1226.
- [24] Алиазов А. А., Малютенко В. К., Федоренко Л. Л. ФТП, 1983, т. 17, № 7, с. 1211—1216.

Физико-технический институт
им. А. Ф. Иоффе АН СССР
Ленинград

Поступило в Редакцию
5 мая 1987 г.